



سنجش از دور

، GIS ایران



سال پنجم، شماره سوم، پاییز ۱۳۹۲ ایران
Vol.5, No.3, Autumn 2013
Iranian Remote Sensing & GIS

۳۳-۴۸

پاییش تغییرات تپه‌های ماسه‌ای تالاب بین‌المللی گاوخونی با استفاده از تصاویر ماهواره‌ای

عاطفه جباری^{*}، رضا جعفری^۳، سید جمال الدین خواجه‌الدین^۳

۱. کارشناس ارشد پیاپان‌زادایی، دانشکده منابع طبیعی، دانشگاه صنعتی اصفهان
۲. استادیار گروه مرتع و آبخیزداری، دانشکده منابع طبیعی، دانشگاه صنعتی اصفهان
۳. استاد گروه مرتع و آبخیزداری، دانشکده منابع طبیعی، دانشگاه صنعتی اصفهان

تاریخ پذیرش مقاله: ۱۳۹۲/۷/۲۷

تاریخ دریافت مقاله: ۱۳۹۰/۱۱/۲۵

چکیده

تپه‌های ماسه‌ای گاوخونی (ارگ ورزنه)، تپه‌هایی فعال و نیمه‌فعال در جنوب غربی استان اصفهان و غرب تالاب بین‌المللی گاوخونی هستند. این تپه‌ها در افزایش طوفان‌های ماسه‌ای و خسارت‌دیدن جاده‌ها در این ناحیه بسیار مؤثرند. در مطالعه حاضر، تغییرات تپه‌های ماسه‌ای با استفاده از تصاویر ماهواره‌ای MSS، TM، ETM⁺ و LISSIII طی ۳۲ سال مشخص گردید. در مرحله پیش‌پردازش، تمامی تصاویر با خطای RMS کمتر از یک پیکسل تصحیح هندسی شدند. نقشه‌های کاربری و پوشش اراضی منطقه با استفاده از تکنیک‌های پردازش تصویر شامل آنالیز مؤلفه اصلی، ترکیب رنگی کاذب، شاخص گیاهی NDVI و طبقه‌بندی نظارت شده به روش حداقل احتمال تولید شدند. برآورد صحت نقشه‌های طبقه‌بندی شده نشان داد که بین تصویر ماهواره‌ای و داده‌های زمینی بیش از ۸۹ درصد همخوانی وجود دارد. مقایسه توزیع مکانی تپه‌های ماسه‌ای تقریباً ۵۰۸۶ هکتار (از ۱۴۴۷۵ به ۱۹۵۶۱ هکتار) افزایش یافته است. این افزایش در نواحی بین‌تپه‌ای و تقریباً در بخش مرکزی و جنوبی ارگ مشاهده شد.

کلیدواژه‌ها: تپه‌های ماسه‌ای، تصویر ماهواره، گاوخونی، اصفهان.

* نویسنده مکاتبه‌کننده: اصفهان، دانشگاه صنعتی، دانشکده منابع طبیعی، گروه مرتع و آبخیزداری تلفن: ۰۹۱۳۱۵۹۵۰۸۳

Email: a.jebali@na.iut.ac.ir

۱- مقدمه

بارش، فقر در پوشش گیاهی و همواری نسبی، شرایط را برای غلبه فرایندهای فرسایش بادی مهیا ساخته است (Memarian Khalilabad et al., 2005). آمار و گزارش‌های سازمان‌های ذی‌ربط نشان از پیشروی سریع اراضی کشور به سمت بیابانی‌شدن دارند، به‌طوری‌که میزان آن سالانه در حدود ۱ میلیون هکتار برآورد شده و گاهی برای نشان‌دادن عمق فاجعه، میزان آن به صورت هکتار در ثانیه بیان شده است (Ahmadi, 1998). طبق مطالعات، ۱۳ میلیون هکتار از محدوده شهرها و روستاهای خطوط ارتباطی کشور را ناهمواری‌های ماسه‌ای اشغال کرده‌اند، که ۵ میلیون هکتار آن شامل شن‌زارهای فعل و بقیه تپه‌های فسیل‌شده یا تثبیت‌شده‌اند (Ahmadi et al., 2001).

از بین رفتان پوشش‌های طبیعی، کاربری‌های غیراقتصادی زمین و کشاورزی روی تپه‌های ماسه‌ای، عواملی هستند که حرکت و جابه‌جایی تپه‌ها را افزایش می‌دهند (Dong et al., 2000). تخریب جاده‌ها، سکونتگاه‌ها، مزارع و مرتع از مشکلات ناشی از حرکت تپه‌های فعل است، این موضوع در اولویت بررسی‌ها و مطالعات بیابان‌زایی قرار می‌گیرد (Yao et al., 2007).

تعیین چگونگی گسترش و محور اصلی جابه‌جایی این تپه‌ها از مهم‌ترین اهداف مطالعات فرسایش بادی در مناطق رسوب‌گذاری است. تهیه نقشه‌های متناسب زمانی اهمیت بسیاری در پایش تپه‌ها، برآورد میزان تغییرات سالانه و نیز محور جابه‌جایی احتمالی آنها دارد و در برنامه‌ریزی برای مناطق مجاور تپه‌های ماسه‌ای کاملاً ضروری است (Khalifeh et al., 2007).

در دهه‌های اخیر، استفاده از فناوری دورسنجی و تصاویر ماهواره‌ای برای بررسی بهتر تپه‌های ماسه‌ای در وسعت زیاد با صرف هزینه کمتر از عملیات صحراوی، سبب شده است تا پژوهشگران در بررسی تپه‌های ماسه‌ای، پایش حرکتی و میزان جابه‌جایی آنها طی سال‌های متمادی توجه بیشتری به این فناوری مبذول

تغییرات کاربری و پوشش اراضی ناشی از اختلاف موقعیت یک پدیده در زمان‌های مختلف است که با استفاده از داده‌های چندزمانه و آنالیز کمی این داده‌ها در زمان‌های مختلف در مورد پدیده‌ها صورت می‌پذیرد (Lu et al., 2004). به‌دلیل رشد روزافزون جمعیت همراه با فشار بر محیط، توسعه شهرسازی و تخریب اراضی با فعالیت‌های بی‌رویه در کشاورزی، تغییرات کاربری و پوشش اراضی (Shalaby and Tateishi, 2007)، پیچیدگی ساختارهای مکانی در سطح زمین و تغییرات سریع در پوشش و کاربری اراضی، تکنیک‌های دورسنجی ابزاری ضروری در پایش‌های محیطی به‌شمار می‌آیند (Kesgin and Nurlu, 2009). در این زمینه، شناخت درست و به‌موقع تغییرات عوارض سطح زمین، امری مهم در درک بهتر ارتباطات و تعامل بشر و پدیده‌های طبیعی به‌منظور مدیریت و استفاده درست از منابع در مقیاس‌های مکانی و زمانی است (Lambin, 1997).

پایش و شناسایی تغییرات از روش‌های معمول در مطالعه تغییرات اراضی به‌شمار می‌آیند. روش‌های تفریق تصاویر و مقایسه پس از طبقه‌بندی، به‌منظور شناسایی تغییرات با استفاده از داده‌های ماهواره‌ای، بیشترین کاربرد را دارند. در روش تفریق تصاویر، محدوده گسترش تغییرات به صورت پیکسلی نشان داده می‌شود و در روش مقایسه پس از طبقه‌بندی، اطلاعاتی در مورد علل این تغییرات به صورت طبقه‌ای ارائه می‌شود (Oliveira et al., 2008).

تپه‌های ماسه‌ای از اشکال عمومی نماهای طبیعی در مناطق بیابانی هستند که بیش از سایر نماهای طبیعی، سطح بیابان‌ها را اشغال کرده‌اند، از این رو در برخی موارد پیدایش آنها از مصادیق گسترش بیابان بر اثر تغییرات اقلیم و فعالیت‌های بشر به‌شمار می‌آید و از شاخص‌های مهم بیابان‌زایی قلمداد می‌شود (Levin et al., 2004).

حاکمیت اقلیم خشک در بیابان‌های ایران با کمبود

مطالعه برای تفسیر فعالیت تپه‌های قدیمی به عنوان نمودی از اقلیم گذشته و پیش‌بینی تغییرات محیطی در آینده صورت پذیرفت. در بررسی آنها کاربری‌های اراضی با استفاده از طبقه‌بندی نظارت شده و کاربرد روش‌های حداکثر احتمال و کمترین فاصله استخراج گردید و از شاخص NDVI نیز برای استخراج پوشش سبز منطقه استفاده شد. تغییرات از سال ۱۹۷۷ تا سال ۲۰۰۰ به وسیله تصاویر ماهواره‌ای بررسی شد و تغییرات در پوشش زمین و حرکت تپه‌ها آشکار گردید. بدین ترتیب در بعضی از نواحی مانند مو یو اس^۵ ثبت شد تپه‌ها مشخص شد و در دو بخش از تپه‌های منطقه هورکین^۶ به طور کلی تغییرات چندانی رخ نداده بود.

(Mason et al., 2008)

یائو و همکاران در بررسی حرکت تپه‌های ماسه‌ای فلات آلکسای^۷ شمالی واقع در مغولستان، از تصاویر ETM و TM، MSS و ۲۰۰۰ استفاده مربوط به سال‌های ۱۹۷۳، ۱۹۹۱ و ۲۰۰۰ کردند. در بررسی آنان میزان حرکت ۱۰ تپه شامل شش تپه عرضی، سه تپه بارخانی و یک تپه هیبرید مطالعه گردید و افزایش مساحت ۰/۱۴ کیلومترمربع در جهت شرق - جنوب‌شرق در کل این ده تپه طی سال‌های ۱۹۹۱ تا ۲۰۰۰ مشاهده شد. حجم متوسط این تپه‌ها طی این دوره نیز افزایش داشته است، ولی به دلیل ناشناخته بودن تغییرات ارتفاعی تپه‌ها در طول این مدت نمی‌توان افزایش حجم متوسط را تأیید کرد.

(Yao et al., 2007)

تپه‌های ماسه‌ای گاوخونی معروف به ارگ ورزنه شامل تپه‌های نیمه‌فعال تا فعالی است که در قسمت

دارند. جانک در مطالعه تپه‌های ماسه‌ای مدانو کربک^۸ با استفاده از تصاویر TM در سال‌های ۱۹۸۴ تا ۱۹۹۸ به روند پایداری تپه‌ها و افزایش رشد بوته‌های نیمه‌بیابانی دست یافت (Janke, 2002). یانگ و همکاران با استفاده از تصاویر ماهواره‌ای لندست و تکنیک‌های دورسنجی و روش مقایسه پس از طبقه‌بندی طی سال‌های ۱۹۷۵-۲۰۰۱ روند بیابان‌زایی در شمال چین را بررسی و کاهش وسعت تالاب و افزایش گستردگی تپه‌های ماسه‌ای را گزارش کردند (Yang et al., 2007).

امروزه روش‌های گوناگونی برای شناسایی تغییرات پدیده‌های مختلف با استفاده از تصاویر ماهواره‌ای و بهره‌گیری از فناوری دورسنجی به کار می‌رود، که از جمله می‌توان به روش‌های نسبت‌گیری تصاویر، آنالیز مؤلفه‌های اصلی، شاخص اختلاف نرمال پوشش گیاهی، طبقه‌بندی تصاویر چندزمانه، مقایسه پس از طبقه‌بندی Hereher, 2010; Lu et al., 2004

مقایسه بعد از طبقه‌بندی یکی از روش‌های معمول در بررسی آشکارسازی تغییرات است، که علاوه بر آشکارساختن تغییرات در طبقات مختلف، نوع تغییرات به وجود آمده (کاهش یا افزایش سطح در طبقه) را نیز مشخص می‌کند. به خاطر همین ویژگی از این روش در اکثر مطالعات زمینی استفاده می‌شود (Abdulaziz et al., 2009; Torees-Vera et al., 2009).

این تکنیک برمبنای مقایسه پیکسل به پیکسل نقشه‌های تولید شده از تصاویر ماهواره‌ای در زمان‌های مختلف پایه‌ریزی شده و افزون بر شناسایی سطح تغییرات، اطلاعات مناسبی نیز از تغییرات مشاهداتی به دست می‌دهد (Oliveira et al., 2008).

ماسون و همکاران از سال ۱۹۷۰ با استفاده از سنجنده‌های^۹ MSS و^{۱۰} TM^{۱۱} ماهواره لندست به مطالعه تغییر حرکت تپه‌ها بر اثر کاهش زیاد قدرت باد در منطقه نیمه‌خشک شمال چین پرداختند. این

1. Medano Creek

2. Multi-Spectral Scanner

3. Thematic Mapper

4. Enhanced Thematic Mapper Plus

5. Mu US

6. Horqin

7. Alxa

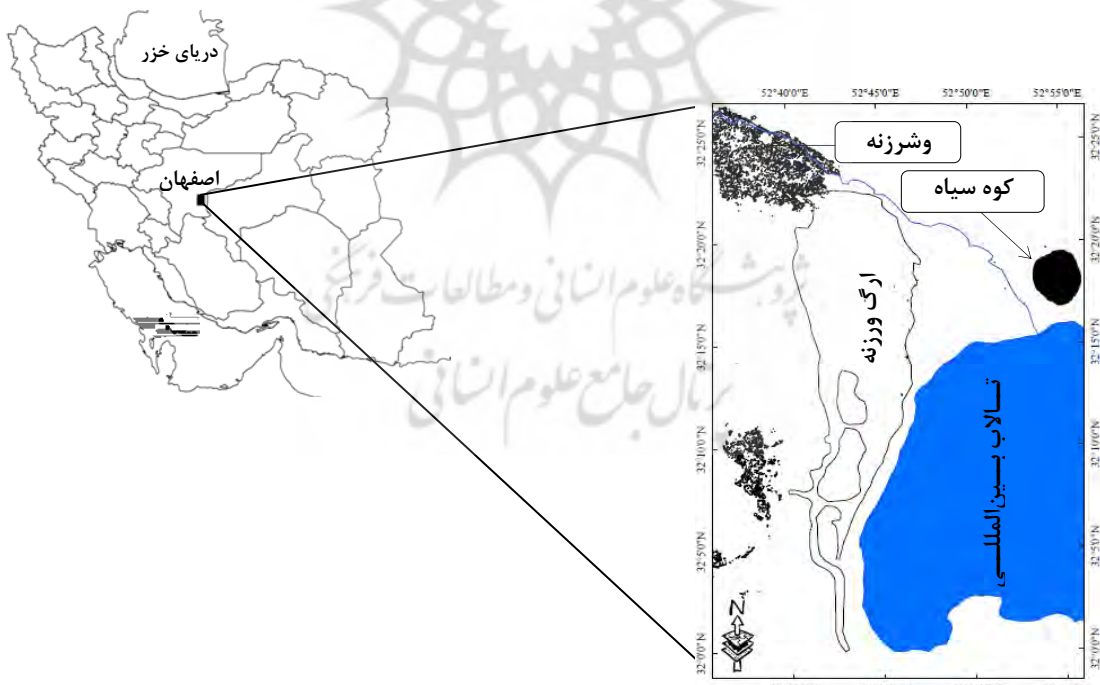
سطح وسیعی از قسمت غربی تالاب گاوخرنی در بخش جنوب شرقی استان اصفهان را به خود اختصاص داده است. این منطقه بین طول های "۶۵°۱۰'۱۹" تا "۶۸°۱۶'۵۳" شرقی و عرض های "۲۸'۸۷" الی "۲۵'۹۱'۹۳" شمالی واقع گردیده است. تپه های ماسه ای از بخش جنوبی ورزنه آغاز شده و تا شهر سرای در جنوب ادامه دارد. قسمت مرکزی ارگ شامل دو دشت داخلی به نام های میان بای بزرگ و میان بای کوچک است که به طور پراکنده از تپه های ماسه ای قدیمی و نسبتاً بی شکل پوشیده شده است. ارتفاع تپه ها در این ناحیه گاه به ۶۰ متر رسید. وزش باد های غالب با جهت غربی در ۹ ماه از سال، بارندگی در حدود ۷۶ میلی متر و پتانسیل تبخیر و تعرق ۳۲۶۵ میلی متر در سال نشان از اقلیم بیابانی حاکم بر منطقه دارد. در شکل ۱ موقعیت منطقه مطالعاتی نشان داده شده است.

جنوب شرقی استان اصفهان در مجاورت تالاب بین المللی گاوخرنی واقع گردیده و در افزایش غبار ناشی از طوفان های ماسه ای در منطقه و هجوم ماسه ها به سمت جاده های اطراف مؤثر بوده است. به دلیل وسعت زیاد و صعب العبور بودن بخشی از این منطقه تاکنون مطالعه کاملی در زمینه پایش تغییرات این تپه ها انجام نشده است. لذا هدف مطالعه حاضر بررسی امکان استفاده از تکنیک های دور سنجی و داده های ماهواره ای به منظور بررسی تغییرات مکانی و زمانی تپه های ماسه ای منطقه مطالعاتی است.

۲- مواد و روش ها

۲-۱- معرفی منطقه مطالعاتی

تپه های ماسه ای گاوخرنی (ارگ ورزنه) مجموعه ای از تپه های بارخانوئید، ستاره ای، سیلک و سیف است که



شکل ۱. موقعیت منطقه مطالعاتی

جدول ۱. مشخصات تصاویر ماهواره‌ای استفاده شده

سنجنده	IRS_P ₆	ETM ⁺	LNDES	TM	LNDES	قدرت تفکیک مکانی (متر)	ردیف	گذر	تاریخ
MSS			LNDES			۷۹	۳۸	۱۷۵	۱۳۵۵/۳/۲۱
			LNDES			۳۰	۳۸	۱۶۳	۱۳۶۹/۶/۱۹
			LNDES			۳۰	۳۸	۱۶۳	۱۳۷۸/۶/۴
LISSIII						۲۴	۴۸	۷۲	۱۳۸۷/۱/۲۵

زمین‌مرجع شدند و اندازه پیکسل‌های تمامی تصاویر به ۳۰ متر تغییر داده شد. در انتخاب نقاط زمین‌مرجع‌سازی کوشش شد تا از نقاط منطقه‌های بدون تغییر - نظیر تقاطع جاده‌ها و محدوده اراضی کشاورزی - انتخاب شود، به‌گونه‌ای که پراکنش مناسبی نیز نسبت به هم داشته باشند. از آنجاکه در این تحقیق آشکارسازی الگوهای تپه‌های ماسه‌ای مورد نظر است و قصد استخراج اطلاعات طیفی از تصاویر را نداشته‌ایم، هیچ‌گونه اصلاحات جوی اعمال نشده است.

۴-۲- پردازش و طبقه‌بندی تصاویر ماهواره‌ای
در این مطالعه از تکنیک‌های بارزسازی تصاویر، نظیر ترکیب‌های رنگی، شاخص پوشش گیاهی^۳ و NDVI و آنالیز مؤلفه‌های اصلی^۴ به منظور آشکارسازی و استخراج هرچه کامل‌تر اطلاعات از داده‌های ماهواره‌ای بهره گرفته شد و در ادامه با استفاده از روش طبقه‌بندی نظارت‌شده، طبقات کاربری در تصاویر معرفی گردید. از آنجاکه در اجرای طبقه‌بندی نظارت‌شده روی تصاویر، به نمونه‌های تعلیمی مناسب و صحیحی نیاز است که نماینده کاملی از پوشش‌های اراضی باشند، نمونه‌های تعلیمی به عنوان الگوی مشخصات طیفی طبقات در تفکیک پوشش‌های اراضی با بازدید میدانی و استفاده از اطلاعات جانبی نظیر مطالعات انجام شده در منطقه Pakzad, 2003) و تصاویر گوگل ارث، معرفی گردید و

1. Linear Imaging Self Scanner-III
2. Indian Remote Sensing
3. Normalized Differencing Vegetation Index (NDVI)
4. Principle Component Analysis (PCA)

۲-۲- داده‌های سنجش از دور

برای شناسایی تغییرات ارگ گاوخونی از تصاویر سه سنجنده MSS، TM و ETM⁺ ماهواره LNDES، و تصویر سنجنده^۱ IRS_P₆ LISSIII^۲ از ماهواره IRS_P₆ استفاده گردید. قدیمی‌ترین تصویر متعلق به سنجنده MSS در سال ۱۳۵۵ و جدیدترین تصویر متعلق به سال ۱۳۸۷ است. در انتخاب تصاویر سعی شده است تا علاوه بر توجه به کیفیت تصاویر، حداکثر فاصله زمانی ممکن نیز برای آشکارسازی تغییرات در نظر گرفته شود. در جدول ۱ مشخصات تصاویر استفاده شده در این بررسی ارائه شده است.

۲-۳- پیش‌پردازش تصاویر ماهواره‌ای

اجرای عملیات پیش‌پردازش روی تصاویر ماهواره‌ای استفاده شده با توجه به چندزمانه بودن داده‌ها و استفاده از اطلاعات سنجنده‌های مختلف با قدرت تفکیک مکانی متفاوت، ضروری است. بدین منظور در نخستین گام مطالعه، عملیات تصحیح هندسی روی تصاویر ماهواره‌ای اجرا گردید. ابتدا باند پانکروماتیک تصویر ماهواره‌ای ETM⁺ با استفاده از نقشه توپوگرافی کمتر از ۰/۵ پیکسل زمین‌مرجع گردید. سپس بقیه تصاویر ماهواره‌ای با روش مذکور به صورت تصویر به تصویر از روی تصویر باند پانکروماتیک با ۰/۵، ۰/۴۳، ۰/۴۲ و ۰/۱۵ نقطه کنترل زمینی و با خطای کمتر از ۰/۵ پیکسل زمین‌مرجع گردید. سپس بقیه تصاویر ماهواره‌ای با روش مذکور به صورت تصویر به تصویر از روی تصویر باند پانکروماتیک با ۰/۵، ۰/۴۳، ۰/۴۲ و ۰/۱۵ نقطه کنترل زمینی به ترتیب در تصاویر MSS، TM و ETM⁺ با خطای کمتر از ۰/۵ پیکسل LISSIII با خطا

معرفی شد. این حد آستانه در معرفی پوشش گیاهی تصویر MSS، محدوده ارزشی (۱۴/۰-۰/۷) و در معرفی اراضی کشاورزی، محدوده ارزشی بیش از ۱۴/۰ تعیین شد و در تصویر TM، ETM⁺ و IRS-P₆ به ترتیب محدودهای (۰/۱-۰/۵)، (۰/۱-۰/۵) و (۰/۵-۰/۱) به عنوان پوشش گیاهی طبیعی و مقادیر ارزشی بیش از ۰/۰۵، ۰/۰۵ و ۰/۲ به عنوان اراضی کشاورزی معرفی شدند.

پس از این مرحله، برای تعیین مناسب‌ترین ترکیب رنگی از فاکتور شاخص بهینه^۱، در هر یک از تصاویر ماهواره‌ای بهره گرفته شد. در جدول ۳ بهترین ترکیب رنگی در تصاویر بررسی شده ارائه گردیده است.

انواع کاربری‌های موجود در منطقه شناسایی شد. در جدول ۲ مشخصات مربوط به هر طبقه ارائه شده است. در مرحله بعد، با استفاده از شاخص گیاهی NDVI مناطق شامل پوشش گیاهی در منطقه مطالعاتی معرفی شدند و برای تفکیک اراضی کشاورزی و پوشش گیاهی طبیعی منطقه، با کمک بازدید میدانی، از روش آستانه‌گیری^۲ استفاده شد.

با توجه به قرارگیری شاخص NDVI در محدوده ارزشی ۱-۱، با استفاده از نرم‌افزار ERDAS IMAGIN (9.1) و اجرای روش آزمون و خطا در تعیین حدود آستانه متفاوت، مناسب‌ترین حد آستانه در تفکیک پوشش گیاهی طبیعی و اراضی کشاورزی

جدول ۲. پوشش‌های اراضی منطقه مطالعاتی

نوع کاربری	کد کاربری	توضیحات
اراضی لخت	۱	خاک فاقد هرگونه پوشش گیاهی
اراضی شور	۲	اراضی دارای مقدار زیاد املاح نمکی
مرتع	۳	دشت سنگریزهای دارای پوشش فقیر
تپه‌های ماسه‌ای	۴	ارگ گاوخونی
پوشش گیاهی طبیعی	۵	پوشش گیاهی به استثنای اراضی کشاورزی اعم از پوشش اطراف رودخانه زاینده‌رود شامل <i>Tamarix sp.</i> , <i>Typha sp.</i> , <i>Phragmites sp.</i> , <i>Salicornia sp.</i> و تاغزارها
اراضی کشاورزی	۶	کشت پنبه، جو، سبزیجات، نباتات علوفه‌ای و باغها
منطقه مسکونی	۷	شهرهای ورزنه، خارا، حسن‌آباد، کمال‌آباد، دستجرد و جرقویه علیا
حاشیه اطراف تالاب	۸	اراضی سیار شور و دارای میزان فراوان نمک در اطراف تالاب بین‌المللی گاوخونی
تالاب	۹	تالاب بین‌المللی گاوخونی
برون‌زد سنگی	۱۰	کوه سیاه

جدول ۳. ترکیب‌های رنگی استفاده شده در تصاویر ماهواره‌ای

تصویر	شاخص فاکتور بهینه	ترکیب باندی	تصویر	شاخص فاکتور بهینه	ترکیب باندی
MSS	۱۹/۲۸	۴،۳،۲	ETM ⁺	۴۹/۷۲	۷،۵،۳
TM	۴۴/۸۴	۳،۵،۱	LISSIII	۶۷/۹۸	۴،۳،۱

1. Threshold

2. Optimum Index Factor (OIF)

علمی بین کلاس‌هاست (Lillesand and Kiefer, 2000).

در اجرای عملیات طبقه‌بندی نظارت شده، از روش حداقل احتمال^۳ - به علت دقت بالای آن - استفاده گردید. در این الگوریتم، واریانس و کوواریانس کلاس‌ها ارزیابی می‌شوند و فرض بر این است که همه مناطق آموزشی پراکنش نرمال دارند. از آنجاکه نمونه‌های علمی باید معرف هر کلاس باشند، تا حد امکان باید از تعداد نمونه‌های بیشتری استفاده شود تا تغییرات ویژگی‌های طیفی متعددی در گستره پیوسته آن قرار گیرد. بنابراین، شرط توزیع نرمال در این روش اهمیت زیاد دارد. در توزیع نرمال میانگین^۳، میانه^۴ و نما^۵ مقادیر برابر دارند و نمودار آن به شکل زنگوله‌ای است (AlaviPanah, 2006).

در مرحله آخر، به منظور تولید نقشه نهایی پوشش اراضی، کاربری‌های استخراج شده از شاخص گیاهی NDVI، ترکیب رنگی و آنالیز مؤلفه اصلی، در هر یک از سنجنده‌های بررسی شده با استفاده از روش هم‌پوشانی^۶ با یکدیگر ادغام شدند.

۲-۵- برآورد صحت نقشه‌های حاصل از طبقه‌بندی تصاویر ماهواره‌ای

پس از تولید نقشه‌های پوشش اراضی، عملیات ارزیابی صحت با محاسبه ماتریس خطا، نقاط کنترل زمین به طور تصادفی از طریق بازدید میدانی، نقشه‌های توپوگرافی، تصویر گوگل ارث و عکس‌های هوایی به عنوان داده‌های رفرنس برداشت شد و صحت کلی، ضریب کاپا، خطای حذف^۷، خطای اضافه^۸، صحت کاربر

بدین ترتیب کاربری‌های بروزنزد سنگی، مرتع، تالاب، حاشیه اطراف تالاب و تپه‌های ماسه‌ای از تصاویر حاصل از ترکیب رنگی موجود در جدول ۳ به دست آمدند و با توجه به اینکه تصاویر حاصل از آنالیز مؤلفه اصلی قابلیت بسیار مناسبی در بارزسازی کاربری‌ها دارند، از تصویر حاصل از PCA₃ در جداسازی اراضی شور و لخت و PCA₄ در جداسازی مناطق مسکونی استفاده گردید. در این مرحله با توجه به اینکه تصاویر حاصل از آنالیز مؤلفه اصلی از مؤلفه سوم به بعد رنگی‌اند، به رغم آنکه در مقایسه با دو مؤلفه اول و دوم اطلاعات کمتری از آنها در دست است، از نظر بصری برای تفکیک عوارض تا حدودی مناسب‌اند. به همین دلیل پس از تولید تصاویر مؤلفه‌های سوم و چهارم از PCA، عملیات طبقه‌بندی نظارت شده برای هر یک از تصاویر جداگانه انجام گرفت و پس از معرفی کاربری‌های مختلف روی تصاویر شامل کوه، تالاب، منطقه مسکونی، پوشش گیاهی، اراضی شور، اراضی لخت، مرتع و تپه‌های ماسه‌ای؛ اراضی شور و لخت از تصویر PCA₃ و مناطق مسکونی از تصویر PCA₄ استخراج شد.

در ادامه برای ارزیابی نمونه‌های علمی در تمامی طبقات کاربری، نمودارهای حاصل از متوسط مقادیر عددی نمونه‌های علمی مربوط به هر کاربری، در محور مختصات واحد با استفاده از نرم‌افزار ERDAS IMAGIN (9.1) بررسی شد و نمودار هر کاربری‌ای که تداخلی با نمودار سایر کاربری‌ها نداشت، یعنی صحیح تفکیک شده بود. به منظور ارزیابی کمی تفکیک‌پذیری طبقات نیز از پارامتر آماری شاخص واگرایی تبدیل شده^۱ استفاده گردید. این شاخص نوعی واریانس فاصله وزنی بین میانگین طبقات است که مقدار آن بین ۰ تا ۲۰۰۰ متغیر است. شاخص واگرایی بالاتر بیانگر فاصله آماری بیشتر بین نمونه‌های علمی و در نتیجه احتمال طبقه‌بندی صحیح‌تر طبقات کاربری است. مقادیر کمتر از ۱۵۰۰ برای این پارامتر نشان‌دهنده تفکیک‌پذیری پایین و تداخل خصوصیت نمونه‌های

-
1. Transformed Divergence Index
 2. Maximum likelihood
 3. Mean
 4. Medium
 5. Mode
 6. Overlay
 7. Omission Error
 8. Commission Error

ماسه‌ای و صفر سایر کاربری‌هاست. در ادامه، عملیات شناسایی تغییرات کاربری تپه‌های ماسه‌ای در محیط نرم‌افزاری (9.1) ERDAS IMAGINE به روش مقایسه بعد از طبقه‌بندی^۲ صورت گرفت و تغییرات افزایشی یا کاهشی در دوره مطالعاتی از یکدیگر تفکیک شدند که نتیجه‌آن ارزش‌های ۱، صفر و -۱ بود. ارزش ۱ نشان‌دهنده تپه‌های ماسه‌ای اضافه‌شده، ارزش -۱ نشان‌دهنده تپه‌های ماسه‌ای کاسته شده و ارزش صفر بیانگر مناطقی است که در طول این دوره تغییری نداشته است.

در این روش تصاویر مربوط به زمان‌های متفاوت، جداگانه طبقه‌بندی و کدگذاری می‌شوند و سپس سطح تغییرات از مقایسه مستقیم نتایج طبقه‌بندی به دست می‌آید. این روش، میانبری برای دشواری‌های بررسی تغییرات آنالیز تصاویر به دست آمده از زمان‌های متفاوت سال یا با سنجنده‌های مختلف است؛ که از مزایای آن نیز به شمار می‌آید (Lunetta and D. Elvidge, 1999).

حداقل کردن تأثیرات اتمسفری و تفاوت‌های سنجنده و اختلافات محیطی بین تصاویر چندزمانه و ارائه ماتریس کاملی از تغییرات، از مزایای این روش و حساسیت زیاد به صحت طبقه‌بندی‌های جداگانه برای هر تصویر، از نقاط ضعف این روش قلمداد می‌شود (Castellana et al., 2007; Lu et al., 2004; Rembold et al., 2000 بنابراین استفاده از این روش زمانی مناسب است که صحت طبقه‌بندی زیاد باشد. بدین ترتیب هر کدام از تصاویر طبقه‌بندی‌شده در هر زمان، مورد ارزیابی دقیق قرار می‌گیرند و چنانچه صحت کافی داشته باشند از آنها در بررسی مقایسه بعد از طبقه‌بندی استفاده می‌شود (Castellana et al., 2007). شکل ۲ به طور خلاصه مراحل انجام این را مطالعه به تصویر کشیده است.

-
1. Boolean Image
 2. Post-classification

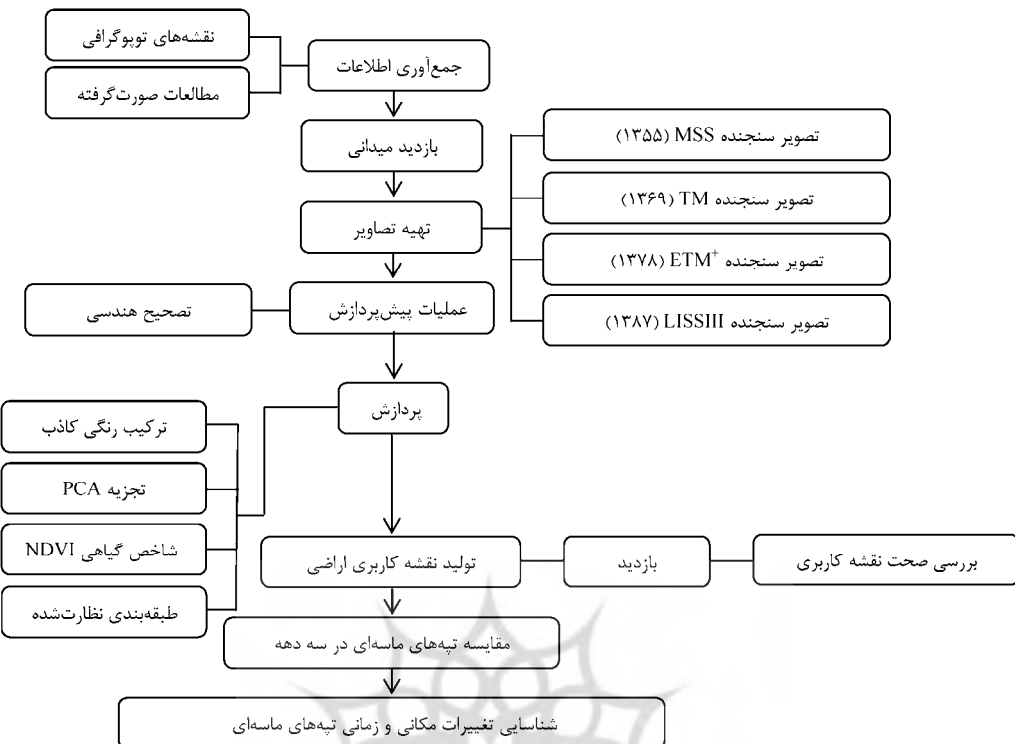
و صحت تولیدکننده برای هر یک از نقشه‌های تولیدی محاسبه شد.

با توجه به اینکه تعداد نقاط کنترلی لازم برای ارزیابی صحت طبقه‌بندی حداقل ۵۰ عدد و بر حسب وسعت و اهمیت کاربری مورد نظر متغیر است (Lillesand and Kiefer, 2000) انتخاب نقاط کنترلی در تصویر مربوط به سنجنده LISSIII با توجه به هم‌زمانی این تصویر با زمان انجام پژوهش عملیات میدانی (با استفاده از سامانه GPS) انجام پذیرفت و ۱۳۳ نقطه کنترل زمینی برداشت گردید. در برخی از کاربری‌ها به دلیل صعب‌العبور بودن یا دسترسی نداشتن به تمام قسمت‌های کاربری مانند تالاب گاوخونی حاشیه اطراف تالاب و قسمت‌های داخلی تپه‌های ماسه‌ای، برای تکمیل نقاط کنترل زمینی از تصویر گوگل ارث سال ۲۰۰۵ استفاده شد و در سایر نقشه‌های تولیدی از ۱۰۰ نقطه کنترلی تصادفی حاصل از نقشه‌های توپوگرافی و عکس‌های هوایی موجود با فاصله زمانی نزدیک به سال نقشه کاربری مورد نظر، بهره گرفته شد. بدین ترتیب نقاطه‌های توپوگرافی با مقیاس ۱:۵۰۰۰ ۱۳۵۵ برای تعیین نقاط کنترلی نقشه کاربری حاصل از تصویر MSS و عکس‌های هوایی ۱:۴۰۰۰ مربوط به سال ۱۳۷۴ و نقشه‌های توپوگرافی با مقیاس ۱:۲۵۰۰۰ سال ۱۳۸۲ برای تعیین نقاط کنترلی نقشه کاربری حاصل از تصاویر TM و ETM⁺ استفاده گردید. به منظور حذف تأثیر حاشیه در طبقات کاربری و کاهش منابع خطای این نقاط از قسمت‌های میانه کاربری‌ها برداشت شدند.

۶-۲- استخراج و تهییه نقشه تغییرات تپه‌های ماسه‌ای

به منظور ایجاد نقشه‌ای که بیانگر تغییرات ارگ ورزنه در فواصل زمانی مشخص باشد، ابتدا هر دو نقشه مربوط به یک فاصله زمانی مشخص به تصویر صفر و یک^۱ تبدیل شد، که در آن یک نشان‌دهنده مناطق دارای تپه‌های

پایش تغییرات تپه‌های ماسه‌ای تالاب بین‌المللی گاوخونی با استفاده از تصاویر ماهواره‌ای



شکل ۲. روندnamای مرحل انجام شناسایی تغییرات تپه‌های ماسه‌ای

اراضی کشاورزی کاهش یافته است. با کاهش سطح زیر کشت، فضای خالی اراضی کشاورزی با پوشش گیاهی طبیعی اشغال شده و سطح آن افزایش یافته است، البته در سال‌های اخیر به دلیل کاهش بارندگی و کمبود آب در منطقه، این مسئله نمود بیشتری یافته است. در تغییر مساحت حاشیه اطراف تالاب گاوخونی، اراضی لخت و اراضی شور تصاویر ماهواره‌ای لندست قابلیت زیادی نشان ندادند، اما تصویر حاصل از سنجنده LISSIII این کاربری‌ها را به خوبی تفکیک کرده است. در بازدید صحراوی، تفکیک مناسب این طبقات تأیید شد. مساحت کوه سیاه نیز به دلیل ثابت‌بودن موقعیت آن، ثابت و در تمام تصاویر یکسان فرض گردید. سطح پوشش مرتعی هم طی چهار دوره فراز و نشیب‌های اندکی داشته است، به گونه‌ای که در تصویر حاصل از سنجنده MSS به دلیل پایین‌بودن کیفیت تصویر، این طبقه با صحت مناسبی تفکیک نگردید و به همین علت نمی‌توان در مورد آن نظر قطعی داد.

۳- نتایج و بحث

۳-۱- نقشه‌های پوشش اراضی

براساس طبقه‌بندی نظارت شده به روش حداقل احتمال (جدول ۴) طبقات کاربری و پوشش اراضی در ۱۰ کلاس با صحت مناسب معرفی شدند (شکل ۳). استفاده از PCA₃ در جداسازی اراضی شور و لخت و PCA₄ در جداسازی مناطق مسکونی، سبب شد تا پوشش‌های اراضی مذکور با دقت بالایی آشکارسازی و از سایر کاربری‌ها تفکیک شوند. در مطالعات دیگر نیز به کارگیری تصویر حاصل از PCA₃ در جداسازی اراضی لخت یا ترکیب حاصل از مؤلفه‌های ۱، ۳ و ۷ در تفکیک اراضی لخت و کشاورزی آبی مناسب تشخیص داده شده است (Goudarzi et al., 2007).

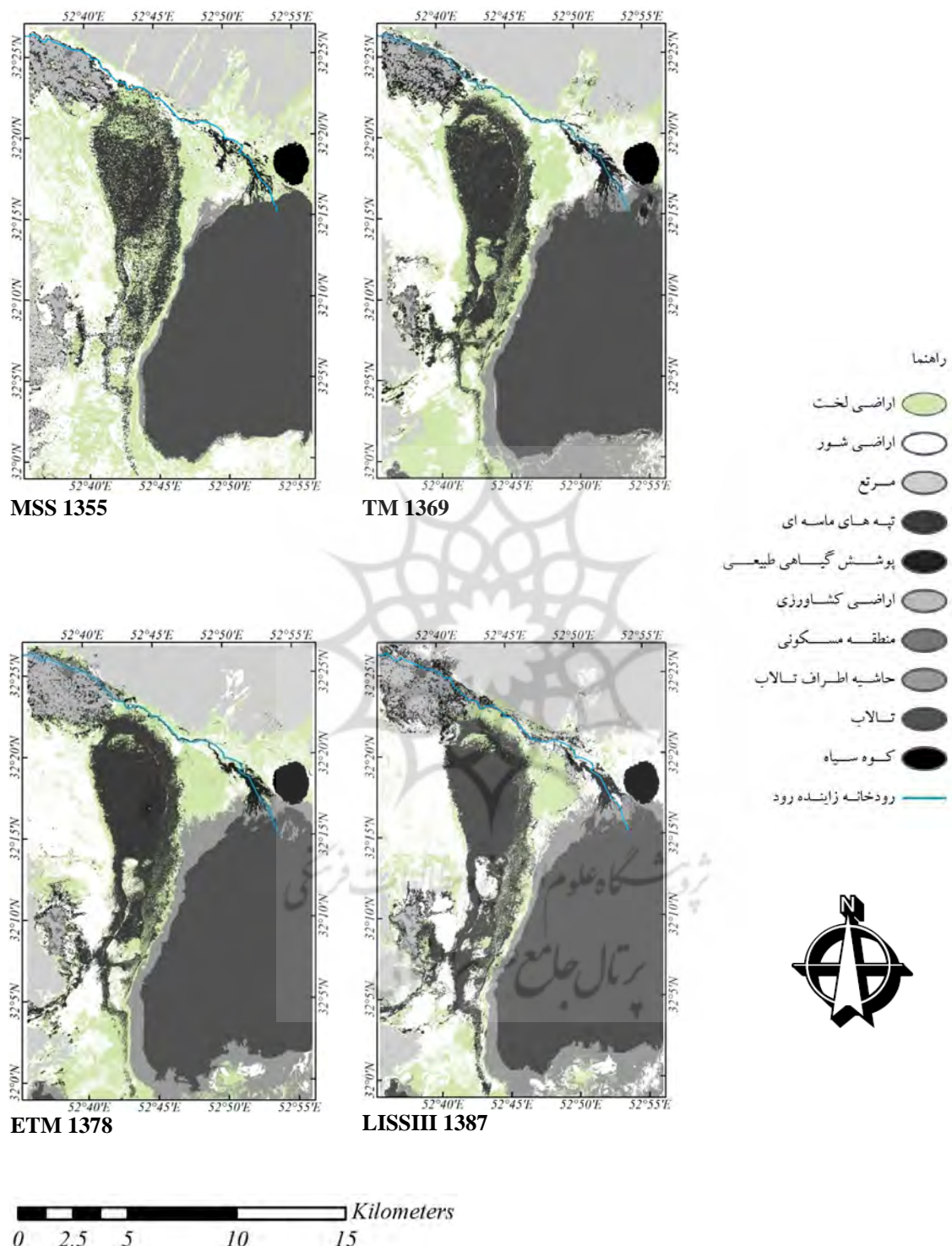
طبق نتایج به دست آمده، طی ۳۲ سال گذشته مساحت تپه‌های ماسه‌ای، اراضی شور، مناطق مسکونی، و پوشش گیاهی طبیعی افزایش یافته، اما سطح تالاب بین‌المللی گاوخونی و حاشیه اطراف آن، اراضی لخت و

عاطفه جبالی و همکاران

جدول ۴. مساحت پوشش اراضی حاصل از آنالیز داده‌های سنجنده‌های مختلف (مساحت ha)

کاربری و پوشش اراضی		تصویر	تاریخ بیان	شیده طرافت دالا	منطقه مسکونی	اراضی کشاورزی	شیده بینی	جهات ملیده ای	بو	ارتفاعی شیده	ارتفاعی شیده	ارتفاعی شیده
MSS(1355)												
کاپای کلی	۱۵۰۶	۴۵۰۴۸	۲۴۰۲	۱۹۵	۴۲۲۷	۵۴۱۲	۱۴۴۷۵	۲۰۵۱۶	۳۶۱۵۲	۳۶۲۳۴	مساحت	
۰/۶۸	۱۰۰	۸۱/۸۲	۵۵/۵۶	۷۷/۷۸	۶۹/۲۳	۸۰	۸۰	۸۰	۴۴/۴۴	۵۰	صحت کاربر(%)	
	۱۰۰	۸۱/۸۲	۷۱/۴۳	۸۷/۵	۹۰	۸۰	۹۴/۱۲	۸۰	۳۳/۳۳	۲۸/۵۷	صحت تولیدکننده(%)	
	۰	۱۸/۱۸	۲۸/۵۷	۱۲/۵	۱۰	۲۰	۵/۸۸	۲۰	۶۶/۶۷	۷۱/۴۳	خطای حذف(%)	
صحت کلی	۰	۱۸/۱۸	۴۴/۴۴	۲۲/۲۲	۳۰/۷۷	۲۰	۲۰	۲۰	۵۵/۵۶	۵۰	خطای اضافه(%)	
٪/۷۲	۱	۰/۸۰	۰/۶۹	۰/۸۶	۰/۸۹	۰/۷۸	۰/۹۳	۰/۷۹	۰/۲۷	۰/۲۲	ضریب کاپا	
TM (1369)												
کاپای کلی	۱۵۰۶	۴۴۵۳۳	۱۱۲۰۴	۲۷۹	۳۴۲۶	۶۸۹۷	۱۷۰۹۴	۲۳۱۶۹	۳۰۴۰۲	۲۸۵۷۴	مساحت	
۰/۸۲	۱۰۰	۹۰/۹۱	۶۶/۶۷	۸۵/۷۱	۸۶/۶۷	۱۰۰	۶۵	۸۰	۱۰۰	۷۵	صحت کاربر(%)	
	۱۰۰	۸۳/۳۳	۸۰	۱۰۰	۱۰۰	۸۴/۶۲	۹۲/۸۶	۱۰۰	۷۱/۴۳	۵۰	صحت تولیدکننده(%)	
	۰	۱۶/۶۷	۲۰	۰	۰	۱۵/۳۸	۷/۱۴	۰	۲۸/۵۷	۵۰	خطای حذف(%)	
صحت کلی	۰	۹/۰۹	۳۳/۳۳	۱۴/۲۹	۱۳/۳۳	۰	۳۵	۲۰	۰	۲۵	خطای اضافه(%)	
٪/۸۴	۱	۰/۸۱	۰/۷۹	۱	۱	۰/۸۲	۰/۹۱	۱	۰/۶۸	۰/۴۶	ضریب کاپا	
ETM⁺ (1378)												
کاپای کلی	۱۵۰۶	۴۴۵۴۳	۱۳۵۴۵	۳۱۸	۵۳۱۱	۶۲۸۲	۱۸۴۸۴	۲۳۸۱۳	۲۷۱۱۳	۲۵۸۲۸	مساحت	
۰/۸۴	۱۰۰	۱۰۰	۸۸/۸۹	۸۷/۵	۱۰۰	۹۰	۹۰/۹۱	۱۰۰	۶۴/۷۱	۷۲/۷۳	صحت کاربر(%)	
	۱۰۰	۷۵	۸۸/۸۹	۸۷/۵	۸۷/۵	۱۰۰	۱۰۰	۸۳/۳۳	۶۸/۷۵	۶۶/۶۷	صحت تولیدکننده(%)	
	۰	۲۵	۱۱/۱۱	۱۲/۵	۱۲/۵	۰	۰	۱۶/۶۷	۳۱/۲۵	۳۳/۳۳	خطای حذف(%)	
صحت کلی	۰	۰	۱۱/۱۱	۱۲۲/۵	۰	۱۰	۹/۰۹	۰	۳۵/۲۹	۲۷/۲۷	خطای اضافه(%)	
٪/۸۶	۱	۰/۷۴	۰/۸۷	۰/۸۶	۰/۸۶	۱	۱	۰/۸۲	۰/۶۳	۰/۶۳	ضریب کاپا	
LISSIII (1387)												
کاپای کلی	۱۵۰۶	۴۲۷۴۴	۱۲۴۶۴	۳۴۵	۴۶۶۱	۸۹۰۵	۱۹۵۸۱	۲۲۸۰۹	۳۷۴۳۸	۱۷۰۵۵	مساحت	
۰/۹۰	۱۰۰	۱۰۰	۸۷/۵	۷۵	۸۸/۸۹	۹۰/۶۳	۱۰۰	۱۰۰	۱۰۰	۸۲/۳۵	صحت کاربر(%)	
	۱۰۰	۸۸/۸۹	۱۰۰	۱۰۰	۸۸/۸۹	۹۰/۶۳	۹۰	۶۶/۶۷	۸۸/۴۶	۱۰۰	صحت تولیدکننده(%)	
	۰	۱۱/۱۱	۰	۰	۱۱/۱۱	۹/۳۷	۱۰	۳۲/۳۳	۱۱/۵۴	۰	خطای حذف(%)	
صحت کلی	۰	۰	۱۲/۵	۲۵	۱۱/۱۱	۹/۳۷	۰	۰	۰	۱۷/۶۵	خطای اضافه(%)	
٪/۹۱/۷	۱	۰/۸۸	۱	۱	۰/۸۸	۰/۸۸	۰/۸۹	۰/۶۶	۰/۸۶	۱	ضریب کاپا	

پایش تغییرات تپه‌های ماسه‌ای تالاب بین‌المللی گاوخونی با استفاده از تصاویر ماهواره‌ای



شکل ۳. نقشه کاربری اراضی حاصل از روش طبقه‌بندی نظرارت شده

زمین به ترتیب برای تصاویر TM و ETM⁺ خود به صحت کلی ۹۱/۶ و ۸۶/۵ درصد و ضریب کاپای کلی ۸۸ و ۸۲ درصد دست یافتند (Fan et al., 2008). با توجه به نتایج به دست آمده در این مطالعه، صحت نقشه‌های تولیدی در تصاویر MSS، TM⁺ و ETM⁺ و LISSIII به ترتیب ۷۲، ۸۶، ۸۴ و ۹۱/۷ درصد و ضریب کاپای کلی به ترتیب ۰/۶۸، ۰/۸۲، ۰/۸۴ و ۰/۹ بوده است (جدول ۴). صحت بالای برخی از کلاس‌ها می‌تواند حاصل اختلاف طیفی بالای رخساره‌های زئومورفوژی با کاربری‌ها در مناطق بیابانی باشد.

۲-۳- تغییرات کاربری اراضی منطقه مطالعاتی در ۳۶ سال گذشته

نتایج حاصل از شناسایی تغییرات تپه‌های ماسه‌ای در طی دوره مطالعاتی بیانگر افزایش سطح درونی و تدریجی تپه‌ها و حرکت آن در داخل محدوده ارگ است (شکل ۴). بیشترین افزایش سطح در این دوران در بخش میانی ارگ به سمت جنوب رخ داده است. در این محدوده، تپه‌های ماسه‌ای فعال‌تر از قسمت شمالی ارگ‌اند و افزایش مساحت و جابه‌جایی بیشتری دارند. براساس نتایج به دست آمده، مساحت بخشی از تپه‌ها که به صورت زایده‌ای در قسمت غربی ارگ قرار گرفته، در حال افزایش است. در جدول ۵ تغییرات مساحتی تپه‌های ماسه‌ای واقع در ارگ گاوخونی طی دوره‌های مطالعاتی ارائه شده است. سطح ارگ ورزنه در سال ۱۳۵۵ برابر با ۱۴۴۷۵ هکتار بوده و این سطح در سال ۱۳۶۹، ۱۳۷۸ و ۱۳۸۷ به ترتیب به ۱۷۰۹۴، ۱۸۴۸۴ و ۱۹۵۶۱ هکتار رسیده است. با توجه به نتایج و نقشه‌های ارائه شده، سطح تپه‌ها در این دوره مرتب‌آفزايش یافته، درحالی که محدوده کلی آن - که تحت عنوان ارگ شناخته می‌شود - تغییر حرکتی چندانی نداشته است.

قدیمی‌ترین تصویر بررسی شده در این پژوهش متعلق به سنجنده MSS سال ۱۳۵۵ است که در مقایسه با سایر تصاویر، قدرت تفکیک مکانی کمتری دارد. تصاویر سنجنده‌های (۱۳۶۹) و (۱۳۷۸) با ETM⁺ قدرت تفکیک مکانی ۳۰ متر، در مقایسه با سنجنده MSS قابلیت و توانایی بالایی برای تولید نقشه‌های پوشش اراضی دارند و تصویر ماهواره‌ای سنجنده (۱۳۸۷) با قدرت تفکیک مکانی ۲۳/۵ متر نیز کیفیت بالایی برای تولید نقشه‌های پوشش اراضی دارد. این موضوع با نتایج به دست آمده در زمینه صحت نقشه‌های تولیدی کاملاً منطبق است (جدول ۴).

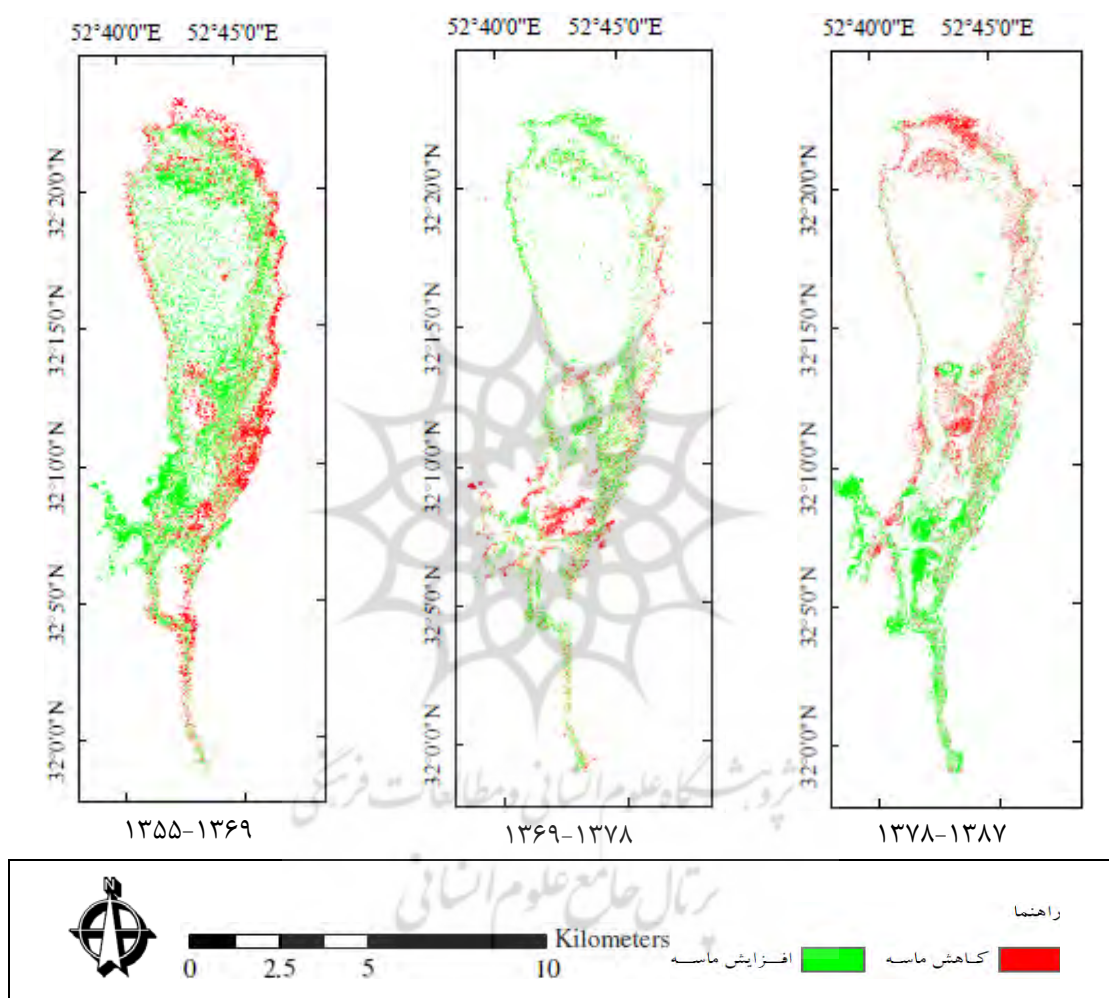
مقدار خطای اضافه - که طبق تعریف طبقه‌بندی ناصحیح پیکسل‌ها در کلاسی است که واقعاً به آن تعلق ندارند - و همچنین مقدار خطای حذف که مربوط به پیکسل‌هایی است که به کلاس معین تعلق ندارند ولی جزء آن کلاس طبقه‌بندی نشده‌اند، در جدول ۴ ارائه شده است. بیشترین خطای حذف و اضافه در تصویر MSS به ویژه در کاربری اراضی لخت و شور مشاهده شد که با پایین‌بودن قدرت تفکیک مکانی آن نسبت به سایر سنجنده‌ها ارتباط دارد.

صحت کلی، از شاخص‌های بیان صحت نتایج به دست آمده از روش‌های مختلف طبقه‌بندی است، که توافق و همخوانی تصویر حاصل از طبقه‌بندی را با واقعیت زمینی بیان می‌کند. امروز داده‌های دورسنجی یکی از منابع مهم تأمین اطلاعات موضوعی مورد نیاز در مطالعات به شمار می‌آید و چنانچه تحلیل‌ها و تصمیم‌گیری‌ها بر مبنای اطلاعات با صحت نامعین صورت پذیرد، کاربران را در ارزیابی و برنامه‌ریزی بهشت گمراه می‌کند (Makhdoom, et al., 2007). از این رو استفاده از نقشه‌های با صحت زیاد از مهم‌ترین ابزارهای بررسی و آشکارسازی تغییرات به شمار می‌آید (Castellana et al., 2007). فن و همکاران در مرحله تعیین صحت نقشه‌های تولیدی پوشش زمین و کاربری

پایش تغییرات تپه‌های ماسه‌ای تالاب بین‌المللی گاوخونی با استفاده از تصاویر ماهواره‌ای

جدول ۵. تغییرات مساحتی تپه‌های ماسه‌ای ورزنه طی دوره مطالعاتی

دوره‌های زمانی	۱۳۷۸-۱۳۸۷	۱۳۶۹-۱۳۷۸	۱۳۵۵-۱۳۶۹
افزایش مساحت (ha)	۳۲۷۶	۳۳۲۶	۶۰۸۱
کاهش مساحت (ha)	۲۱۹۹	۱۹۳۶	۳۴۶۲
روند تغییرات (ha)	۱۰۷۷	۱۳۹۰	۲۶۱۹
مساحت کلی تپه‌های ماسه‌ای (ha)	۱۹۵۶۱	۱۸۴۸۴	۱۷۰۹۴



شکل ۴. تغییرات تپه‌های ماسه‌ای در طی دوره مطالعاتی (۱۳۵۵-۱۳۸۷)

مربوط به تپه‌های ماسه‌ای در تصویر جدید موجود نباشد. این کاهش یا افزایش مساحت دلایل گوناگونی دارد. بخشی از این موضوع مربوط به دقت حاصل از تولید نقشه تپه‌های ماسه‌ای و متفاوت بودن سنجنده‌های بررسی شده و بخشی دیگر به دلیل

طی سال‌های ۱۳۵۵ تا ۱۳۶۹ مساحت تپه‌ها به ترتیب ۴ و ۲ درصد افزایش و کاهش داشته است. در اینجا منظور از افزایش مساحت، اضافه شدن پیکسل‌های تازه به نقشه تپه‌های ماسه‌ای در سال جدید است، و کاهش مساحت نیز زمانی رخ می‌دهد که پیکسل‌های

سبب است تا تپه‌ها در جای خود ثابت گرددن (Pakzad, 2003) با این حال، تپه‌های داخل ارگ مرتباً در حال افزایش‌اند و به فعالیت خود ادامه می‌دهند.

۴- نتیجه‌گیری

تصاویر سری زمانی و استفاده از روش مقایسه بعد از طبقه‌بندی، در مطالعات مختلف شناسایی تغییرات پوشش زمین و کاربری اراضی در سطح وسیع با صرفه‌جویی در هزینه و وقت و نیز با افزایش دقیق، بسیار مناسب است. با این حال در این روش بایستی صحت نقشه تولیدی برای انجام مقایسه مورد تأیید باشد. مقایسه و بررسی نتایج نقشه‌های ارگ گاوخونی طی دوره ۳۲ ساله مطالعاتی، عدم گرایش دینامیکی تپه‌های ماسه‌ای مطالعه شده و داشتن گرایش استاتیکی داخل محدوده تپه‌های ماسه‌ای را نشان داد. این امر بیانگر پتانسیل بالای داده‌های ماهواره‌ای در مطالعات رئومورفولوژی تپه‌های ماسه‌ای و نوعی نوآوری در مطالعات دینامیکی و بررسی مورفولوژی این نهشت‌های است که می‌تواند در مطالعات میدانی و ثبت تپه‌ها کمک شایانی کند. نتایج تحقیق، فعال بودن تپه‌های ماسه‌ای داخل ارگ را نشان می‌دهد و اینکه تپه‌ها مرتباً در حال افزایش و پرکردن فضای داخلی ارگ هستند. به دلیل رطوبت ناشی از بالابودن سطح آب سفره‌های زیرزمینی، این تپه‌ها قادر حركت دینامیکی و جابه‌جایی مشهود هستند، بنابراین نوعی آشفتگی ماسه در اثر وزش باد داخل محدوده ارگ وجود دارد. بیشترین آشفتگی در قسمت پایینی ارگ بوده است که تغییرات حرکتی زیادی را در مقایسه با قسمت‌های مرکزی ارگ نشان می‌دهد و سبب شده است تا در سطح جاده‌های مجاور تپه‌های ماسه‌ای در این قسمت همواره رسوبات ماسه‌ای در اثر وزش بادها انباسته شود و مشکلاتی را در تردد و سایل نقلیه به همراه آورده است. لذا پیشنهاد می‌گردد برنامه‌های حفاظتی کنترل ماسه‌های باد در هر سه منطقه برداشت، حمل و رسوب‌گذاری بررسی و اجرا شود.

جابه‌جایی ماسه‌های موجود در سطح زمین در اثر وزش باد است و این کاهش مساحت در تمامی تصاویر مشاهده می‌گردد. با جابه‌جایی ذرات ماسه در یک مکان، این ذرات در قسمت دیگری از ارگ رسوب می‌کند و سبب افزایش مساحت ارگ می‌شود. افزون بر این در قسمت شمال غربی ارگ، اراضی کشاورزی تا قسمت‌های ابتدایی تپه‌های ماسه‌ای پیشروی داشته که در کاهش مساحت تپه‌های شمالی ارگ مؤثر بوده است. تشکیل تپه‌های بیشتر در قسمت‌های داخلی ارگ و حرکت ذرات ماسه در کناره‌های ارگ، نشان از فعالیت تپه‌های ماسه‌ای داخل ارگ دارد.

تغییرات مساحتی تپه‌ها طی سال‌های ۱۳۶۹ تا ۱۳۷۸، به صورت افزایش ۲ درصد و کاهش ۱ درصد تپه‌ها بوده است. افزایش مساحت این دوره بیشتر در قسمت میانی ارگ به سمت جنوب و نیز در حاشیه‌های ارگ مشاهده گردید. کاهش مساحت ایجاد شده نیز در همین قسمت‌ها رخ داده است، که انتقال ذرات ماسه و رسوب مجدد آنها را در این نواحی تأیید می‌کند.

تغییرات سطح تپه‌ها در سال‌های ۱۳۷۸-۱۳۸۷ نیز به ترتیب حاکی از افزایش و کاهش ۲ و ۱ درصدی است. کاهش مساحت صورت گرفته اکثراً در قسمت حاشیه شمالی و بخش میانی ارگ است که بیشتر به دلیل حرکت و جابه‌جایی ماسه‌های روان است. در این بازه زمانی، افزایش مساحت صورت گرفته از قسمت میانی ارگ به سمت جنوب بوده است.

اصولاً تپه‌های ماسه‌ای دارای دو نوع گسترش دینامیکی و استاتیکی هستند. گسترش دینامیکی تپه‌ها در ارگ، حرکت ارگ را در جهت‌های مختلف براساس جهت ورزش بادها دربردارد و گسترش استاتیکی تپه‌ها به اصطلاح چاق شدگی ارگ را به دنبال دارد. در ارگ‌های موجود در مناطق کوهستانی و پلایا، گسترش تپه‌ها از نوع استاتیکی است و گسترش دینامیکی وجود ندارد. (Ekhtesasi, 2004)

در این مطالعه، عدم گسترش دینامیکی در مناطق پلایایی به دلیل رطوبت ناشی از سفره‌های زیرزمینی،

-۵ منابع

- Abdulaziz, A.M., Hurtado, J.M. and Al-Douri, R., 2009, **Application of Multitemporal Landsat Data to Monitor Land Cover Changes in the Eastern Nile Delta Region, Egypt**, International Journal of Remote Sensing, 30, PP. 2977-2996.
- Ahmadi, H., 1998, **Applied Geomorphology, Desert Wind Erosion**, Vol. 2, Tehran University.
- Ahmadi, H., Feiznia, S., Ekhtesasi, M.R. and Ghanei-Bafghi, M.J., 2001, **Source Identification of South Bafgh Sand Dunes**, Biaban, 6, PP. 33-49.
- AlaviPanah, S.K., 2006, **Application of Remote Sensing in Geosciences (Earth Sciences)**, Tehran University, Tehran.
- Castellana, L., D'Addabbo, A. and Pasquariello, G., 2007, **A Composed Supervised-Unsupervised Approach to Improve Change Detection from Remotesensing**, Pattern Recognition Letters, 28, PP. 405-413.
- Dong, Z., Wang, X. and Chen, G., 2000, **Monitoring Sand Dune Advance in the Taklimakan Desert**, Geomorphology, 35, PP. 219-231.
- Ekhtesasi, M.R., 2004, **Investigating Morphometric and Morphodynamic Characteristics of Wind Erosion in Yazd Plain and Determining Their Indices for Desertification Models**, Ph.D. thesis, Tehran University, Iran.
- Fan, F., Wang, Y. and Wang, Z., 2008, **Temporal and Spatial Change Detecting (1998–2003) and Predicting of Land Use and Land Cover in Core Corridor of Pearl River Delta (China) By Using TM and ETM⁺ Images**, Environmental Monitoring and Assessment, 137, PP. 127–147.
- Goudarzi, M., Farahpour, M., and Mosavi, S.A., 2007, **Land Cover and Rangeland Classification Map Using Land Sat Satellite Image (TM) (Case study) Namrood Watershed**, Iranian Journal of Range and Desert Research, 13, PP. 265-277.
- Hereher, M., 2010, **Sand Movement Patterns in the Western Desert of Egypt: An Environmental Concern**, Environ Earth Sci, 59, PP. 1119-1127.
- Janke, J.R., 2002, **An Analysis of the current stability of the Dune Field at Great Sand Dunes National Monument using temporal TM imagery (1984–1998)**, Remote Sensing of Environment, 83, PP. 488-497.
- Kesgin, B. and Nurlu, E., 2009, **Land Cover Changes on the Coastal Zone of Candalri Bay, Turkey Using Remotely Sensed Data**, Environmental Monitoring and Assessment, 157, PP. 89-96.
- Khalifeh, E., Kavianpour, M.R., Pakparvar, M. and Vafaei, S., 2007, **A Combination Method of Image Processing and Wind Analysis for Identification of Sand Sources in Wind Erosion (A Case Study of Ardestan)**, Iranian journal of Range and Desert Reseach, 14, PP. 204-221.
- Lambin, E.F., 1997, **Modeling and Monitoring Land-cover Change Processes in Tropical Regions**, Physical Geography, 21, PP. 375-393.

- Levin, N., Ben-Dor, E. and Karnieli, A., 2004, **Topographic Information of Sand Dunes as Extracted from Shading Effects Using Landsat Images**, Remote Sensing of Environment, 90, PP. 190-209.
- Lillesand, T.M. and Kiefer, R.W., 2000, **Remote Sensing and Image Interpretation**, John Wiley and Sons, New York.
- Lu, D., Mausel, P., Brondizio, E. and Moran, E., 2004, **Change Detection Techniques**, International Journal of Remote Sensing, 25, PP. 2365–2407.
- Lunetta, R.S. and D. Elvidge, C., 1999, **Remote Sensing Change Detection (Environmental Monitoring Methodes and Applications)**, Taylor & Francis Ltd.
- Makhdoum, M. E., Darvishsefat, A.A., Jafarzadeh, H. and Makhdoum, A.F., 2007, **Evaluation and Schematization of Environment Using to Geographic Information System (GIS)**, Tehran university.
- Mason, J.A., Swinehart, J.B., Lu, H.Y., Miao, X.D., Cha, P.E. and Zhou, Y.L., 2008, **Limited Change in Dune Mobility in Response to a Large Decrease in Wind Power in Semi-arid Northern China Since the 1970s**, Geomorphology, 102, PP. 351-363.
- Memarian Khalilabad, H., Ahmadi, H., Ekhtesasi, M.R. and Alavipanah, S.K., 2005, **Source Studying of Eolian Sediments in Rafsanjan Region**, Iranian J. Natural Res., 58, PP. 531-542.
- Oliveira, F.S.C., Kampel, M. and Amaral, S., 2008, **Multitemporal Assessment of the Geomorphologic Evolution of the Restinga of Marambaia, Rio de Janeiro, Brazil**, International Journal of Remote Sensing, 29, PP. 5585-5594.
- Pakzad, H.R., 2003, **Sedimentary Facies Associations of the Lower Reaches of the Zayandeh River and the Gavkhoni Playa Lake Basin (Esfahan Province, Iran)**, Ph.D. thesis, University of Clausthal, Germany.
- Rembold, F., Carnicelli, S., Nori, M. and Ferrari, G. A., 2000, **Use of Aerial Photographs, Landsat TM Imagery and Multidisciplinary Field Survey for Land-cover Change Analysis in the Lakes Region (Ethiopia)**, International Journal of Applied Earth Observation and Geoinformation, 2, PP. 181-189.
- Shalaby, A. and Tateishi, R., 2007, **Remote Sensing and GIS for Mapping and Monitoring Land Cover and Land Use Changes in the Northwestern Coastal Zone of Egypt**, Applied Geography, 27, PP. 28-41.
- Torres-Vera, M.A., Prol-Ledesma, R.M. and Garcia-Lopez, D., 2009, **Three Decades of Land Use Variations in Mexico City**, International Journal of Remote Sensing, 30, PP. 138-117.
- Yang, X., Ding, Z., Fan, X., Zhou, Z. and Ma, N., 2007, **Processes and Mechanisms of Desertification in Northern China During the Last 30 years, with a Special Reference to the Hunshandake Sandy Land, Eastern Inner Mongolia**, CATENA, 71, PP. 2-12.
- Yao, Z.Y., Wang, T., Han, Z.W., Zhang, W.M. and Zhao, A.G., 2007, **Migration of Sand Dunes on the Northern Alxa Plateau, Inner Mongolia, China**, Journal of Arid Environments, 70, PP. 80-93..